

Ni - Co

1965

VI-4061

$\text{NiCO} \cdot (\text{PF}_3)_4$ ,  $\text{Ni}(\text{CO})_2$

$(\text{PF}_3)_2$  ( $T_m, K_p$ ),  $\text{Ni}(\text{CO})_3 \text{PF}_3(\text{Co})$

Clark R.J., Brimm E.O.

Inorgn.Chem., 1965, 4, N5, 651-54.

Trifluorophosphine complexes of nickel.

RX., 1966, 3B148 Be, M, Est/orig..

Co<sub>1-x</sub> Ni<sub>x</sub> S<sub>2</sub> Winternberger M.  
u.g.p. 1967

Collog. internat Centre

nat. rech. scient.,

1967, N157, 369

(Cu. Ni<sub>x</sub> S<sub>2</sub>) I

NiO - CoO

1967

Аннотация

из

отмечал

▷ 24 Б604. Измерения электропроводности в системе  
CoO—NiO. Zintl, Серхартд. Leitfähigkeitsmessungen  
im System CoO—NiO. «Z. phys. Chem.» (BRD), 1967, 54,  
№ 1—2, 110—112 (нем.)

На образцах, полученных окислением на воздухе при 1000° электролитически осажденной смеси Ni и Co, измерена электропроводность в системе CoO—NiO при 1000° и парц. давл. O<sub>2</sub> от  $2 \cdot 10^{-4}$  до 1 атм. С увеличением мол. доли NiO электропроводность смешанного окисла уменьшается, причем в богатой NiO области это уменьшение более быстрое, чем отвечающее экспоненциальному закону. Рассчитана подвижность, равная (при P O<sub>2</sub> = = 0,21 атм) 0,1—0,22 в/см<sup>2</sup>·сек. И. Н. Семенова

Х. 1967 · 24

NiCo<sub>2</sub>O<sub>4</sub>

Кноп О. и др.

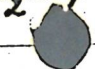
1968

Canad. J. Chem.,

46 N 22, 3463

перевод

Характеристика неизвестных  
полиметаллов. VI. Рентгенографическое  
и магнитное исследование  
и никелей  $Co_3O_4$ ,  $NiCo_2O_4$ ,  $Co_3O_4$   
и  $NiCo_2S_4$ .



(акт.  $Co_3O_4$ ) I

VI(Co, Ni)Se

a, b, c

VI 7160

1969

Балансова Е. Б., Колобов Д. О.

Уг. зан. Уральского гимназии, 1969, № 6, 78

Легированное кремниево-алюминиевое  
оксидное стекло с некоторыми соединениями —  
также со сплавом NiAs.

РУ 105572 (1969)

6

1969

$\text{Li}_2\text{TiF}_6$ ,  $\text{MgFe}_2\text{F}_6$ ,  $\text{Mg}_2\text{FeF}_5$ ,  
 $\text{Mg}_2\text{MnF}_6$ ,  $\text{MgMn}_2\text{F}_6$ ,  $\text{FeCoNiF}_6$  VI 7086  
 a, b, c

X Portier J., Tressaud A., Henril F., Clave-  
 ric J., Pape R. de, Hagenmuller P.  
 J. Solid. State Chem., 1969, 1, n° 100-102.

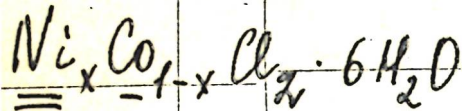
Sur verres composés fluores-  
 a structure rutile et tricuтиle.

PX, 65557 (1970).

(+)ole

12

1920



*фазовое  
превращ.*

8 Б801. Магнитное фазовое превращение в  $\text{Ni}_x \text{Co}_{1-x} \text{Cl}_2 \cdot 6\text{H}_2\text{O}$ . Takeda Kazuyoshi, Matsuura Motohiro, Haseda Taiichiro. Magnetic phase transition in  $\text{Ni}_x \text{Co}_{1-x} \text{Cl}_2 \cdot 6\text{H}_2\text{O}$ . «J. Phys. Soc. Jap.», 1970, 29, № 4, 885—889 (англ.)

X. 1921

8

CoCl<sub>2</sub> - NiCl<sub>2</sub> - H<sub>2</sub>O

1973

Басалов В. А.

Изучение

"Со. никель бинк. комп.  
но кальций." 1973.

Рассмотр. месяцами  
1973, 301. Изучение

Ср<sup>25</sup>



(см. FeCl<sub>2</sub> - H<sub>2</sub>O; 1)

# Ni<sub>1-x</sub>Co<sub>x</sub>Al

1974

77834a Low temperature specific heat of the nickel-cobalt-aluminum ( $\text{Ni}_{1-x}\text{Co}_x\text{Al}$ ) family. Relation to the band structure of these compounds and the martensitic transformation of nickel-aluminum ( $\text{Ni}_{1-y}\text{Al}_{1-y}$ ). Begot, J. J.; Caudron, R.; Faivre, P.; Lassalmenie, A.; Costa, P. (Off. Natl. Éprouv. Matériaux, Paris, France). *J. Phys. (Paris)*, Lett., 1974, 35(11), L225-L228 (Fr.). Electronic specific heat and magnetic susceptibility measurements confirm the occurrence of a d. of states peak between the Fermi levels of NiAl and CoAl (rigid band description). This peak would show, according to J. W. D. Connolly and K. H. Johnson (1971) band calcs., a dominantly  $d_{eg}$  character. The NiAl Debye temp. is particularly low. This effect is probably connected with the proximity of a martensitic transformation which occurs for the  $\text{Ni}_{1+y}\text{Al}_{1-y}$  compds. when  $y > 0.2$ . Electron microscope observations on  $(\text{Ni}_{1-x}\text{Co}_x)_{1+y}$  alloys show that Co when substituted to Ni, stabilizes the cubic phase, in agreement with the former statement.

(Cp)

C.A. 1975-82 n12

$\text{Fe}_{0.65}(\text{Ni}_{1-x}\text{Co}_x)_{0.35}$  (en-cab) 1974

143439h Magnetic properties of the iron-nickel-cobalt ( $\text{Fe}_{0.65}\text{Ni}_{1-x}\text{Co}_x)_{0.35}$ ) and iron-nickel-manganese ( $\text{Fe}_{0.65}(\text{Ni}_{1-y}\text{Mn}_y)_{0.35}$ ) alloy systems. Edwards, L. R.; Bartel, L. C. (Sandia Lab., Albuquerque, N. Mex.). *Phys. Rev. B* 1974, 10(5), 2044-8 (Eng). The magnetization, Curie temp., and pressure dependence of the Curie temp. were measured for the  $\text{Fe}_{0.65}(\text{Ni}_{1-x}\text{Co}_x)_{0.35}$  alloy system, where  $0 \leq x \leq 0.08$ . The magnetization and Curie temp. were nearly independent of Co concn., while the pressure deriv. of the Curie temp. increased in magnitude with increasing Co concn. These results are to be compared with previous measurements on the  $\text{Fe}_{0.65}(\text{Ni}_{1-y}\text{Mn}_y)_{0.35}$  alloy system, where the magnetization and Curie temp. decrease with increasing Mn concn. The pressure derivs. of the Curie temps. of both alloy systems have similar dependences on compn. The behavior of both alloy systems is compared and discussed in

(Curie)

C.A. 1974. 81 N 22

terms of the modified Zener model, which allows both localized and itinerant magnetic electrons. The expected trends in the Coulomb repulsive energy for itinerant electrons of opposite spin on the same site as well as the av. no. of itinerant electrons per site for the various constituent atoms qual. explain the obsd. differences between the 2 alloy systems.

1976

(NiCo)Al

(CoFe)Al

86: 25217q Electronic structure and properties of magnetic defects in cobalt-aluminum ( $\text{Co}_{1+x}\text{Al}_{1-x}$ ) and iron-aluminum ( $\text{Fe}_{1+x}\text{Al}_{1-x}$ ) alloys. Abbe, Daniel (Off. Natl. Etud. Rech. Aerosp., Chatillon, Fr.). *Off. Natl. Etud. Rech. Aerosp. (Fr.), Note Tech.* 1976, (5), 71 pp. (Fr). CoAl and FeAl compds. were studied. Magnetic susceptibility and sp. heat results at low temp. on (NiCo)Al and (CoFe)Al ternary alloys agree with band calcns. obtained by various authors. Magnetization and sp. heat results under field at low temp. on nonstoichiometric compds. show clearly the importance of the nearest-neighbor effects. For CoAl, the isolated Co atoms substituted for Al are characterized by a Kondo behavior ( $T_k \approx 1.7$  K) and for FeAl, the isolated extra Fe atoms are magnetic and polarize the matrix. Moreover, for the 2 compds., clusters of higher order play a considerable part in the magnetic properties. For CoAl, these clusters also seem to be characterized by a Kondo behavior ( $T_k \approx 0.1$  K); for FeAl, these clusters, whose moment is higher than in the case of isolated atoms, could be constituted of excess pairs of Fe atoms.

Cp, T<sub>K</sub>

C.A. 1977 86'14

(+) X

61011.7215  
Ph, Ch, TC

92493  
 $Co_{1-x}Ni_xS_2$  ( $\beta$ )  
1976  
84-14705

Ogawa Shinji.  
Specific heat study of magnetic ordering  
and band structure of 3d transition  
metal disulfides having the pyrite  
structure.

"J. Phys. Soc. Jap.", 1976, 41, N 2,  
462-469 (англ.)

0720 ник

706 706 17 12

ВИНИТИ

NiO-CoO

1976

21 Б709. Термодинамическое исследование системы NiO—CoO методом э. д. с. с твердым электролитом. Torkag K., Schneider R. Thermodynamische Untersuchungen im System NiO—CoO mittels galvanischer Festkörperketten. «J. Solid State Chem.», 1976, 18, № 1, 89—96 (нем., рез. англ.)

Методом э. д. с. с тв.  $O^{2-}$ -ионным электролитом  $ZrO_2 + CaO$  (ТЭ) определены  $\Delta G$  образования тв. р-ров в системе NiO—CoO в интервале 1000—1300° К. Использовались концентрац. цепи Pt, Ni, NiO|TЭ|Ni, (Ni, Co)O, Pt. Установлено соблюдение правила Вегарда для всего интервала конц-ий тв. р-ров и малые положит. отклонения от закону Рауля. Активность окисла  $a_i$  в тв. р-ре выражена через мол. доли  $x_1$ ,  $x_2$  ур-ием  $a_i = x_i \exp(x_2^2 Q / RT)$ , где  $Q = 4,5$  кдж/моль при 1000° К и 2,3 кдж/моль при 1300° К. Для состава с  $x=0,5$   $\Delta H_{\text{смещения}} = 1,1$  кдж/моль при 1000° К и 0,6 кдж/моль при 1300° К,  $\Delta G_{\text{смещения}} = -4,8$  и  $-6,9$  кдж/моль, соотв. Полученные данные сопоставляются с термодинамич. характеристиками тв. р-ров NiO—MnO и CoO—FeO.

Л. Резницкий

Система  
из окислов

$\Delta H_{\text{млр}}, \Delta G_{\text{млр}}$

Х1976 № 21



1978

20 Б813. Калориметрическое исследование  $\text{Co}_x \text{Ni}_{1-x} \text{Cl}_2 \cdot 6\text{H}_2\text{O}$ . Forst at H., Lam N. T. A calorimetric study of  $\text{Co}_x \text{Ni}_{1-x} \text{Cl}_2 \cdot 6\text{H}_2\text{O}$ . «J. Appl. Phys.», 1978, 49, № 3, Part 2, 1377—1379 (англ.)

Теплоемкость  $C_p$  тв. р-ров  $\text{Co}_x \text{Ni}_{1-x} \text{Cl}_2 \cdot 6\text{H}_2\text{O}$  ( $x = 0,11; 0,50$  и  $0,87$ ) измерена в интервале от  $1,5$  до  $6$  К. Установлена аномалия  $C_p$ , отвечающая переходу типа антиферромагнетик—парамагнетик, т-ры Нееля  $4,47, 2,90$  и  $2,43$  К, соотв. Т-рные зависимости  $C_p$  согласуются с предположением статистич. распределения спинов  $\text{Co}^{2+}$  и  $\text{Ni}^{2+}$  в тв. р-ре. Опытные данные сравниваются с теор. Бете—Пайерлса—Вейсса (БПВ) и моделью Изинга для отожженного и закаленного состояния спиновых моментов. Согласие с теорией Изинга для отожженного состояния наблюдается в большей степени, чем с БПВ. С возрастанием содержания Ni модель БПВ для закаленного состояния лучше описывает опытные данные, чем модель БПВ для отожженного состояния.

Предсказываемые теор. значения  $T_N$  оказываются завышенными по сравнению с экспериментом.

Л. А. Резницкий

( $C_p$ )

21978, N 20

*Co<sub>x</sub>Ni<sub>1-x</sub>Cl<sub>2</sub>*

1978

(Gp)

88: 178067g A calorimetric study of cobalt nickel chloride ( $\text{Co}_x\text{Ni}_{1-x}\text{Cl}_2$ ) hexahydrate. Forstat, H.; Lam, N. T. (Michigan State Univ., East Lansing, Mich.). *J. Appl. Phys.* 1978, 49(3, Pt. 2), 1377-9 (Eng). Using a std.  $^4\text{He}$  adiabatic calorimeter, the sp. heats were measured of a series of mixed crystals with chem. formula  $\text{Co}_x\text{Ni}_{1-x}\text{Cl}_2 \cdot 6\text{H}_2\text{O}$ . All the samples studied show fairly sharp  $\lambda$ -type transitions in the liq.  $^4\text{He}$  region. The Neel temps. vary from  $2.43^\circ\text{K}$  to  $4.47^\circ\text{K}$  for  $x$  ranging from 0.89 to 0.13. The crit. behaviors of the mixed crystals can be explained by assuming that the Ni and Co spins behave like Ising spins randomly distributed on a square lattice. The  $T_N$  vs. concn. diagram can be reasonably well accounted for by a) the annealed Ising model, b) the annealed Bethe-Piererls-Weiss (BPW) model and to a lesser extent, c) the quenched BPW model. The exptl. sp. heats were also compared with theor. predictions. In all cases, the annealed Ising model fits the data the best near and above the crit. temps. For high Ni concns., the quenched BPW model fits the data better than the annealed BPW model but predicts crit. temps. which are too high. An exact soln. of the quenched Ising model is unlikely to differ significantly from the annealed Ising model.

C.A. 1978, 22, 124

1978

Ni<sub>x</sub>Co<sub>y</sub>P<sub>z</sub>

pazob.  
guarfi.

88: 142329e Reaction of phosphorus with cobalt and niobium.  
Kuz'ma, Yu. B.; Palfii, Ya. F. (Lvov. Gos. Univ., Lvov,  
USSR). *Ukr. Khim. Zh. (Russ. Ed.)* 1978, 44(1), 27-31 (Russ).  
A phase diagram is given for the Nb-Co-P system at 800°.  
None of the binary compds. of Nb and Co with P dissolves the  
third component to any appreciable extent. The ternary  
compds. reported are NbCo<sub>3</sub>P, Nb<sub>2</sub>CoP, Nb<sub>Co<sub>1.88</sub></sub>P<sub>0.12</sub>, Nb<sub>4</sub>CoP,  
and ~NbCo<sub>6</sub>P<sub>3</sub>.

J. H. Scott

C.A. 1978, 88, N20

$\text{Co}_x \text{Ni}_y \text{S}_z$

1980

Tüziin Sebat.

напасу.  
премесу  
сумыз

Chim. acta turc., 1980,  
8, N3, 221-230.

●  $(\text{Cu Co}_x \text{S}_y)_I$

Co-Cu-Ni

1982

passbas  
guarpania

Hasebe, Mitsuhiro,  
Oikawa Kei, et al.

Nippon Kirzoker  
Gakkaishi 1982, 46(6)

● 584-590.

(Cer. Co-Cu-Mn; ?)

*Ni<sub>x</sub>Co<sub>1-x</sub>Cl<sub>2</sub>*

1982

4 Б852. Теплоемкость соединения  $\text{Ni}_x\text{Co}_{1-x}\text{Cl}_2$  при низких температурах. Кострюкова М. О., Соколовская Т. Г. «Вестн. МГУ. Физ., астрон.», 1982, 23, № 5, 107—110

Теплоемкость  $C_p$  смешанных слоистых антиферромагнетиков  $\text{Ni}_x\text{Co}_{1-x}\text{Cl}_2$  ( $x=0,10; 0,18$  и  $0,90$ ) измерена в области  $2-27$  К в адиабатич. калориметре. Хлориды готовились сплавлением безводных  $\text{NiCl}_2$  (I) и  $\text{CoCl}_2$  (II) в запаянных ампулах при  $1100^\circ$ , точность определения « $x$ » около 0,005. Опытные данные представлены в координатах  $C_p/T-T$  и  $C_pT^2-T^5$ .  $C_p$  составов с  $x=0,10$  и  $0,18$  имеет  $\lambda$ -образный вид при  $24,85$  К, что близко к т-ре Нееля  $24,7$  К для II. Из опытных данных вычислены величины интегралов обменного взаимодействия в смешанных хлоридах. Вклад ядерной составляющей  $C_p$  около  $6 \cdot 10^{-3} T^{-2}$  кал/моль·К. В области  $1,8-2,3$  К  $C_p$  составов с большим содержанием II близки между собой. При более высоких т-рах воз-

*C<sub>p</sub>, T<sup>2</sup>*

X.1983, 19, N 4

буждается низкочастотная ветвь спиновых волн и  
 $C$  (магн.) для сплавов с  $x=0,10$  и  $0,18$  становится  
выше, чем у II. Подобное поведение согласуется с лит.  
данными, согласно к-рым величина щели у I около  
0,5 К, а у II около 2,8 К.                           Л. А. Резницкий

$Ni_x Co_{1-x} Cl_2$

1982

2 E394. Теплоемкость соединений  $Ni_x Co_{1-x} Cl_2$  при низких температурах. Кострюкова М. О.; Соколовская Т. Г. «Вестн. МГУ. Физ., астрон.», 1982, 23, № 5, 107—110

Измерена теплоемкость  $Ni_x Co_{1-x} Cl_2$  с  $x=0,10, 0,18$  и  $0,90$  в интервале т-р 2—27 К. Результаты этих и проделанных ранее измерений на  $NiCl_2$  и  $CoCl_2$  сопоставлены с теорией спиновых волн слоистых антиферромагнетиков.

Авторефорт

6;

Ф. 1983, 18, 12.

$Ni_x Co_{1-x} Cl_2$

1982

3 Е368. Исследование теплоемкости соединений  $Ni_x Co_{1-x} Cl_2$  при низких температурах. Кострюкова М. О. «Ж. эксперим. и теор. физ.», 1982, 83, № 6, 2215—2224 (рез. англ.)

Исследована теплоемкость соединений  $Ni_x Co_{1-x} Cl_2$  в интервале конц-ий  $x$  между 0 и 1 в области т-р 2—28 К. Результаты сопоставлены с выводами теории спиновых волн для слоистых антиферромагнетиков с анизотропией типа «легкая плоскость». Особенности температурной зависимости магн. теплоемкости соединений  $Ni_x Co_{1-x} Cl_2$  объясняются изменением эффективных констант их магн. спектра и величины зонной границы по  $k_z$ . Библ. 20.

Резюме

Ф. 1983, 18, № 3

$\text{Co}_{1-x}\text{Ni}_x\text{Cl}_2$

1982

98: 23127j Heat capacity of nickel cobalt chloride ( $\text{Ni}_x\text{Co}_{1-x}\text{Cl}_2$ ) compounds at low temperatures. Kostryukova, M. O.; Sokolovskaya, T. G. (USSR). *Vestn. Mosk. Univ., Ser. 3: Fiz., Astron.* 1982, 23(5), 107-10 (Russ). The heat capacities of ferromagnetic  $\text{Co}_{1-x}\text{Ni}_x\text{Cl}_2$  was detd. at 10-30 K. For  $x = 0.1$  and  $0.18$ , sharp peaks occur in the heat capacity vs. temp. curves near 24 K (Neel temp. of  $\text{CoCl}_2$  is 24.7 K). Compds. contg. little Co ( $x = 0.90$ ) do not show any peak in the given temp. interval.

$C_p$

C.A. 1983, 98, N4.

Ni-Co-B

1983

Балков Н.А.,

Исследование сплавов Ni-Co-B  
богатых боранами никеля и ко-  
бальтами . . .

Макет речи на Конференции  
молодых учёных химиков  
МГУ, Москва, 25-28 янв.,  
1983. МГУ. М., 1983, 7. л., 161 с.

Ni-Co-B

1983

7 Б3062 Деп. Исследование системы никель—ко-  
бальт—бор в области, богатой никелем и кобальтом.  
Волков Н. А. «Материалы Конф. мол. ученых хим.  
фак. МГУ, Москва, 25—28 янв., 1983. Ч. 3». М., 1983,  
335—338, ил. Библиогр. 4 назв. (Рукопись деп. в  
ВИНИТИ 28 дек. 1983 г., № 7085—83 Деп)

Методами микроскопич., микродюрометрич. рентгено-  
фазового и термич. анализов исследованы сплавы си-  
стемы Ni—Co—B, содержащие до 25 ат.% бора. По-  
строена проекция Пв ликвидуса и политермич. разрез  
с постоянным содержанием бора 25 ат.% в изученной  
системе. Показано, что Со мало влияет на т. пл. двой-  
ной эвтектики ж=Ni+Ni<sub>3</sub>B, а Ni, в свою очередь, мало  
влияет на устойчивость Co<sub>3</sub>B при т-ре <800° С. Под-  
тверждено образование непрерывного ряда тв. р-ров  
между Ni<sub>3</sub>B и Co<sub>3</sub>B при 1000° С.

Автореферат

Х. 1984, 19, № 7

Fe-Ni-Co

CrnicaB

1985

(15H)

103: 130107w A d band bonding model of the enthalpy of formation of ternary transition metal alloys. Colinet, Catherine; Pasturel, Alain; Hicter, Pierre (Lab. Thermodyn. Phys.-Chim. Metall., Domaine Univ., F-38402 Saint Martin d'Heres, Fr.). Z. Metallkd. 1985, 76(8), 542-5 (Eng). A simple electron-band theory model of the heat formation of ternary transition metal alloys was developed. The input parameters of the model are the no. of d electrons, the relative positions of the at. energy levels and the bandwidths. Calcd. values of the enthalpies of formation in the solid Fe-Ni-Co alloy are compared with the available exptl. data. Predictions of the heats of formation are proposed for the Fe-Ni-Zr solid alloy.

C.A. 1985, 103, N 16.

NiCl-CuCl

1985

' 107: 84-76w Saturated vapor pressure in a nickel chloride--  
cobaltous chloride system. Shpenkova, L. I. (USSR). *Khimiya i  
Termodinam. Perekhod. Met. i ikh Soed.*, Krasnodar 1985, 56-9  
(Russ). From *Ref. Zh., Khim.* 1987, Abstr. No. 4B3087. Title only  
translated.

(P)

C.A. 1987, 107, n10

NiCo<sub>2</sub>O<sub>4</sub> [Om. 28019] 1987

Petrov K., Will F.

meissner  
cb-fa  
J. Mater. Sci. Lett.,  
1987, 6, N 10, 1153 -  
1155

CoNi<sub>3</sub>

1991

) 1 E392. Тепловое расширение поверхностных слоев сплава CoNi<sub>3</sub>(100) / Васильев М. А., Городецкий С. Д., Мосейчук А. М. // Поверхность. Физ., химия, мех.— 1991.— № 8.— С. 140—144.— Рез. англ.

Проведено послойное исследование теплового расширения поверхн. слоев сплава (100)CoNi<sub>3</sub> при использовании оригинального метода поверхн. дилатометрии. Установлено, что в исходном состоянии поверхность сплава обогащена никелем на 5%. Термич. нагрев вызывает скачкообразное увеличение конц-ти кобальта в окрестности точки Кюри до 38 ат.%. Линейный коэф. теплового расширения первых двух атомных слоев в ~4 раза больше, чем в объеме кристалла, а для 4—5-го слоя практически не отличается от объемного значения.

термическое  
расширение

φ. 1992, № 1

Al-Ni-Co

1994

123: 124255q Chemical activities of the components in ternary systems Al-Ni-M(M = Co, Fe, Hf) determined by Knudsen effusion mass spectrometry. Albers, M.; Hilpert, K.; Nickel, H.; Weil, K. G. (Germany). Ber. Forschungszent. Juelich 1994, Juel-2974, 179 pp. (Ger). The vapor pressures of the components

XIII · ALPREP  
KUGO + MAC  
CALKMP.

in ternary solid solns. of cobalt, hafnium or iron in  $\text{AlNi}_3$  ( $\gamma'$ -phase) have been detd. by Knudsen effusion mass spectrometry over the temp. range between 1304 and 1612 K. The chem. activities of the components were obtained for the compns.  $(\text{AlNi}_3)_{1-x}\text{Hf}_x$  ( $x = 0 - 0.10$ ),  $\text{Al}_{0.25-x}\text{Hf}_x\text{Ni}_{0.75}$  ( $x = 0.02 - 0.10$ ),  $(\text{AlNi}_3)_{1-x}\text{Fe}_x$  ( $x = 0 - 0.08$ ) and  $(\text{AlNi}_3)_{1-x}\text{Co}_x$  ( $x = 0 - 0.15$ ) from the corresponding vapor pressures. In addn. the chem. activities of aluminum and nickel in the systems Al-Ni-M (M = Co, Fe) have been detd. by applying the ion intensity ratio method. Partial enthalpies and partial entropies of mixing of the components were obtained in the two latter ternary systems evaluating the temp. dependence of the chem. activities and the temp. dependence of the partial free enthalpies of mixing. The influence of a site preference of cobalt and iron in  $\text{AlNi}_3$  on the concn. dependence of the partial mixing functions was discussed using a sublattice model. High temp. DTA and investigation of annealed and quenched alloys yielded vertical sections for the compns.  $(\text{AlNi}_3)_{1-x}\text{Hf}_x$  and  $\text{Al}_{0.25-x}\text{Hf}_x\text{Ni}_{0.75}$  ( $x = 0 - 0.10$ ) and two isothermal sections at 1473 K for the systems Al-Ni-M (M = Co, Fe) in the region of the  $\gamma'$ -phase.

(t2) X

C.A. 1995, 123, n10

*Al<sub>70</sub>Ni<sub>15</sub>Co<sub>15</sub>*

1998

129: 114179c Low-temperature thermodynamic and thermal-transport properties of decagonal Al-Ni-Co. Bianchi, A. D.; Felder, E.; Kenzelmann, M.; Chernikov, M. A.; Ott, H. R.; Edagawa, K. (Laboratorium fur Festkorperphysik, Eidgenossische Technische Hochschule-Honggerberg, CH-8093 Zurich, Switz.). *Quasicryst., Proc. Int. Conf., 6th* 1997 (Pub. 1998), 471-474 (Eng). Edited by Takeuchi, Shin; Fujiwara, Takeo. World Scientific: Singapore, Singapore. Measurements of the sp. heat  $C_p(T)$  and of the thermal conductivities  $\lambda^P(T)$  along the periodic direction and  $\lambda^q(T)$  along a direction in the quasiperiodic plane for decagonal Al<sub>70</sub>Ni<sub>15</sub>Co<sub>15</sub> at low temps. are reported. The phonon contribution to  $\lambda^P(T)$  shows a distinct max. at 25 K, typical for periodic crystals. The dominant feature in the phonon contribution to  $\lambda^q(T)$  is an extended plateau between 30 and 70 K, in agreement with the concept of generalized Umklapp processes in quasicrystals. This distinct difference between the phonon contributions to  $\lambda^P(T)$  and  $\lambda^q(T)$  is similar to that previously obsd. for Al<sub>65</sub>Cu<sub>20</sub>Co<sub>15</sub>. The coeff.  $\gamma = 0.63 \text{ mJ mol}^{-1} \text{ K}^{-2}$  of the linear term to  $C_p(T)$  for Al<sub>70</sub>Ni<sub>15</sub>Co<sub>15</sub>, although its value is larger than those established for icosahedral quasicrystals, nevertheless indicates a low d. of electronic states at  $E_F$ .

(Cp)

CA 1998, 129, w9

# Ni - Co - Mn

1999

F: Co-Ni

P: 1

ЗБ377. Система кобальт-марганец-никель. The Co-Mn-Ni (cobalt-manganese-ni system / Gupta K. P. // J. Phase Equilibria. - 1999. - 20, 5. - С. 527-53 Англ.

Приведены и обсуждены данные для фазовых диаграмм бинарных систем Co-Mn, и Co-Ni, а также данные о составах и структурах образующихся фаз. Всего в бинарных системах существует девять бинарных промежут. фаз. Для тройной системы Co-Mn-Ni известна только одна парц. изоплета, показывающая фазовы границы для тв. фаз, и изотермич. сечение при т-ре 20рС. Обсуждены вероят проекции ликвидуса для тройной системы Co-Mn-Ni, а также р-ции и физ. свсплавов этой системы.

F: Ni-Co-S

P: 1

2000

132:211106 The thermodynamics of the Ni-Co-S ternary system. Soltanieh, M Toguri, J. M.; Sridhar, R.; Takasu, T. Department of Metallurgy and Mater Science, University of Toronto Toronto, ON M5S 3E4, Can .

Metall. Mater. Trans. B, 31B(1), 121-128 (English) 2000 Thermodn. properties of the Ni-Co-S ternary system were detd. by equilibrating the system with a known sulfur pressure established by usin mixt. of H<sub>2</sub>S/H<sub>2</sub> at 1373-1573 K. The isoactivity contours for Ni and Co w detd. by application of the Gibbs-Duhem equation using Schuhmann's method ternary systems. For this purpose, a computer program was developed to c the activities of nickel and cobalt. The cobalt activity coeffs. in dil. of cobalt in the Ni-Co-S system were evaluated and were 0.33, 0.50, and 0 1373, 1473, and 1573 K, resp.



C. A. 2000, 132

Ni-Co-Al

2001

Breuer, J. et al.,

measure. Metall. Mater. Trans.,  
CB-3A A2001, 32A(9), 2157-66

(all-Ni-Al, I)